



# پایداری گوشه‌ای در سیستم‌های غیر خطی خود گردن

ارسان رحیم‌آبادی<sup>۱</sup>، حمید رضا تقی‌راد<sup>۲</sup>

گروه رباتیک ارس، قطب کنترل صنعتی، دانشکده مهندسی برق و کامپیوتر، دانشگاه صنعتی خواجه نصیرالدین طوسی

arsalan.rahimabadi@ee.kntu.ac.ir, taghirad@kntu.ac.ir

(تاریخ دریافت مقاله ۱۳۹۲/۵/۵، تاریخ پذیرش مقاله ۱۳۹۲/۷/۲)

**چکیده:** در بسیاری از کاربردهای عملی بررسی پایداری مجانی نقاط تعادل یک سیستم دارای اهمیت ویژه‌ای است. همچنین در برخی از این سیستم‌ها با وضعیتی مواجه می‌شویم که وجود پاسخ در این سیستم‌ها محدود به بخشی از فضای حالت است. برای مثال سیستم‌های مثبت که در فرایندهای شیمیابی متداول هستند دارای متغیرهای حالت نامنفی می‌باشند. در این نوع سیستم‌ها تحلیل پایداری با استفاده از روش مستقیم لیاپانوف همیشه انتخاب مناسبی نیست؛ زیرا بررسی شرایط لیاپانوف در بخشی از فضای حالت که وجود پاسخ‌ها به آنجا محدود می‌شود، کافی می‌باشد و همواره نیاز به تضمین وجود حداقل یک قلمرو شامل نقطه تعادل که دارای شرایط لیاپانوف است نخواهد بود. از این رو در این مقاله به تعریف نوع دیگری از پایداری با عنوان پایداری گوشه‌ای می‌پردازیم که جایگزین مناسبی برای بررسی پایداری مجانی نقاط تعادل در این گونه سیستم‌ها است. شرایط تضمین این نوع پایداری توسط قضیه‌ای مشابه با قضیه لیاپانوف ارائه می‌شود و برای دو سیستم متفاوت با استفاده از این قضیه، پایداری گوشه‌ای نقطه تعادل واقع در مبدأ را مورد بررسی قرار می‌دهیم.

**کلمات کلیدی:** سیستم‌های خود گردن، سیستم‌های مثبت، تحلیل پایداری لیاپانوف، پایداری مجانی.

## Corner Stability in Nonlinear Autonomous Systems

Arsalan Rahimabadi, Hamidreza Taghirad

**Abstract:** In many practical applications, studying the asymptotic stability of equilibrium points of a system are of utmost importance. Furthermore, in some of such cases the response is restricted to only a sector of the state space. For example positive systems that are really common in chemical processes, have non-negative state variables. For such systems stability analysis of the system using direct Lyapunov stability is not a suitable choice everywhen, since it suffices to consider of Lyapunov conditions in a part of the state space that the existence of solutions is restricted to there and the existence guarantee of at least a domain that includes the equilibrium point & has the Lyapunov conditions, will not be required every time. In this paper a new notion of stability which is called corner stability is defined which is more suitable for studying asymptotic stability of equilibrium points in such systems. To derive the sufficient condition of corner stability a theorem is stated in this paper, and for two different cases studies corner stability of an equilibrium point at the origin, is studied according to this theorem.

**Keywords:** Autonomous systems, positive system, stability analysis, Lyapunov stability, asymptotic stability.

لیاپانوف<sup>[۴]</sup> و پایداری مجانی<sup>[۴]</sup> اشاره کرد. برای حالتی که هدف تحلیل

### ۱- مقدمه

پایداری یک نقطه تعادل است تعاریف مربوط به پایداری پوانکاره،

تعریف فراوانی در مورد پایداری پاسخ یک سیستم دینامیکی بیان شده

است که برای مطالعه تاریخچه‌ای از این تعاریف می‌توانید به [۱] مراجعه

کنید. از تعاریف متداول برای پایداری پاسخ یک سیستم دینامیکی می‌توان

به پایداری پوانکاره (یا اُریتالی<sup>[۲]</sup>، پایداری ژاکوفسکی<sup>[۳]</sup>، پایداری

نویسنده عهده دار مکاتبات: حمید رضا تقی‌راد

<sup>۲</sup>Zhukovsky stability

<sup>۱</sup>Orbitally stability

رابطه‌ای بین پاسخهای نامساوی برداری  $g(V(x,t)) \leq \dot{V}$  و سیستم  $\dot{U} = g(U(x,t))$  با  $V, U \in \mathbb{R}^m$ , را بدست آورده‌اند، که نشان می‌دهد اگر تابع  $g: \mathbb{R}^m \rightarrow \mathbb{R}^m$  در کلاس  $W$  باشد و برای شرایط اولیه داشته باشیم:  $V_i(x_0, t_0) = U_i(t_0)$ , آنگاه خواهیم داشت:  $(t) \leq U_i(t)$ . حال اگر نقطه تعادل برای سیستم  $(U(x,t))$  باشد، پایدار مجذوبی باشد، آنگاه نقطه تعادل برای سیستمی که تابع برداری  $V$  برای اثبات پایداری مجذوبی آن در نظر گرفته شده است، پایدار مجذوبی خواهد بود. در این روش نیاز به معین منفی بودن توابع  $(x, t) \dot{V}$  نیست.

در مراجع [۱۳، ۱۴، ۱۵، ۱۶، ۱۷]، از مشتقات بالاتر یک تابع برای اثبات پایداری مجذوبی نقطه تعادل یک سیستم استفاده شده است. در مرجع [۱۳] برای سیستم‌های خودگردان، شرط معین منفی بودن تابع  $\dot{V}$  را با شرط معین منفی بودن تابع  $\min\{\dot{V}(x), h\dot{V}(x)\}$  به ازای  $h > 0$  در برخی از نواحی مجاور مبدأ (نقطه تعادل در مبدأ فرض شده است)، جایگزین شده است. در مرجع [۱۴] نشان داده شده است، این شرط وقتی برآورده می‌شود که  $\dot{V}(x)$  معین منفی باشد و این یعنی استفاده از این شرط بی‌فایده است، همچنین مرجع [۱۴]، شرط  $a_1\dot{V}(x) + \dot{V}(x) < 0$  با  $a_1, a_2 \geq 0$ ، را جایگزین شرط معین منفی بودن  $(x, t) \dot{V}$  کرد. مرجع [۱۵] از نامساوی  $(V, \dot{V}, \dots, V^{(m-1)}, t) \leq g_m(V, \dot{V}, \dots, V^{(m-1)}, t)$  و مقایسه کردن آن با سیستم کمکی  $(u, \dot{u}, \dots, u^{(m-1)}, t) = g_m(u, \dot{u}, \dots, u^{(m-1)}, t)$  استفاده کرد و نشان داد که اگر نقطه تعادل سیستم کمکی با میدان برداری در کلاس  $W$  پایدار مجذوبی باشد، آنگاه نقطه تعادل سیستم تو صیف شده با حالت  $(x, t)$  پایدار مجذوبی است. در مرجع [۱۷] نشان داده شد، اگر تابع برداری  $V$  با  $V_i$  های  $V_i$  معین منفی باشد، موجود باشد تا بتواند نامساوی برداری کاهشی و  $V_1$  معین مثبت، موجود باشد تا بتواند نامساوی برداری  $A_{m \times m} \dot{V} \leq [V_2 V_3 \dots V_m - \varphi(\|x\|)]^T$  با ماتریس پایین مثلثی  $A$  را برقرار کند، پایداری مجذوبی سیستم تضمین می‌شود (تابع  $\varphi$  در کلاس  $K$  است).

در مرجع [۱۸] تابع لیاپانوف دینامیک<sup>۱</sup>، معرفی شده است. تابع لیاپانوف دینامیک به صورت زوج مرتب  $(D_\tau, V)$  تعریف می‌شود، که  $D_\tau$  توصیف کننده معادله به صورت  $(x, \xi) = \tau$  با  $\xi \in \mathbb{R}^n$  و  $V$  یک تابع لیاپانوف برای  $\dot{x} = f(x)$  است. برای سیستم توسعه یافته به صورت  $\tau(x, \xi) = [f(x)^\top \xi]^\top$  است. اثبات پایداری سیستم با استفاده از تابع لیاپانوف دینامیک، مرتبط با بدست آوردن جواب  $(x, \xi)$  برای معادله  $\tau(x, \xi) = f(x)^\top \frac{\partial \xi}{\partial x}$  می‌باشد.

فرض کنید می‌خواهیم پایداری مجذوبی نقطه تعادل یک سیستم مثبت<sup>۲</sup> [۱۹] را مورد بررسی قرار دهیم. در این صورت کافی خواهد بود که تعریف پایداری مجذوبی برای بخشی از فضای حالت که مقدار حالت‌ها در

انتخاب شرط اولیه مناسب، پاسخ به اندازه دلخواه نزدیک نقطه تعادل باقی بماند. در بسیاری از کاربردهای عملی پایداری به مفهوم لیاپانوف کافی نیست و علاوه بر آن همگرا شدن پاسخ به نقطه تعادل نیز مد نظر قرار می‌گیرد، که در این صورت تعادل را پایدار مجذوبی گویند. پایه‌ای ترین کار برای تضمین پایداری مجذوبی، روش مستقیم لیاپانوف می‌باشد [۴]. در این روش برای اثبات پایداری مجذوبی نقطه تعادل مربوط به یک سیستم خودگردان، هدف بدست آوردن تابع معین مثبتی است، که مشتق آن نسبت به زمان معین منفی باشد. در واقع در این روش مسئله تضمین پایداری مجذوبی نقطه تعادل یک سیستم، به مسئله بدست آوردن تابع لیاپانوف، تبدیل می‌شود.

لازالت در مقاله خود [۵]، با استفاده از مفاهیم مجموعه‌های پایا شرایط قضیه لیاپانوف را برای تضمین پایداری مجذوبی نقطه تعادل یک سیستم خودگردان، ساده سازی کرد. در مرجع [۶]، شرط معین منفی بودن مشتق تابع نسبت به زمان در قضیه لیاپانوف برای حالت پایدار مجذوبی یکنواخت<sup>۳</sup> با دو شرط دیگر جایگزین گشت؛ ۱) مشتق تابع نسبت به زمان نیمه معین منفی باشد، ۲) یک  $T > 0$  موجود باشد، که برای تمام  $t \geq t_0$  داشته باشیم:  $\langle \dot{x}(t), \tau \rangle < 0$  با  $\alpha(\|x(t)\|) \leq -\alpha(\|x(t)\|) \int_t^{t+T} \dot{V}(x(\tau), \tau) d\tau$ ، که  $\alpha$  یک تابع یکنواخت<sup>۴</sup> روی  $\mathbb{R}^+$  است، که شرط  $\alpha(0) = 0$  را ارضا می‌کند. در مرجع [۷] نشان داده شد، که تنها شرط دوم ارائه شده توسط مرجع [۶] با در نظر گرفتن تابع  $\alpha$  در کلاس  $K$  برای جایگزینی با شرط معین منفی بودن مشتق تابع در قضیه لیاپانوف، برای اثبات پایداری مجذوبی یکنواخت کافی است، همچنین در مرجع [۸] نشان داده شد، که اگر شرط دوم ارائه شده توسط مرجع [۶] برای دنباله اکیدا صعودی<sup>۵</sup> از زمان برقرار باشد، می‌توان آن را جایگزین شرط معین منفی بودن مشتق تابع در قضیه لیاپانوف، برای اثبات پایداری مجذوبی یکنواخت دانست.

تابع لیاپانوف برداری که در مراجع [۱۰، ۹] معرفی شده است، شیوه استفاده از قضیه لیاپانوف را برای سیستم‌های با ابعاد بالا توسعه می‌دهد. در واقع در این روش به جای بدست آوردن یک تابع لیاپانوف برای کل سیستم سعی می‌شود برای هر زیرسیستم یک تابع کاهشی<sup>۶</sup> و حداقل نیمه معین مثبت به صورت  $(V_i(x, t))$  بدست آوریم تا تابع  $V = \sum_{i=1}^m k_i V_i$  باشد، که  $k_i > 0$  معین مثبت باشد، آنگاه تابع  $V_i$  به عنوان نامزد تابع لیاپانوف برای یک زیرسیستم و تابع  $V$  کاندیدای تابع لیاپانوف برای کل سیستم خواهد بود. با استفاده از لم قیاس تعییم یافته، تعریف شده در مرجع [۱۱]، مراجع [۱۲، ۱۱] تابع لیاپانوف برداری را به صورت دیگری مورد استفاده قرار داده‌اند. آنها

<sup>1</sup> LaSalle

<sup>2</sup> با توجه به این که مطلب این نوشته به سیستم‌های خودگردان محدود می‌شود خواص مربوط به پایداری یکنواخت است. بدین معنی که در سیستم‌های خودگردان پایداری مجذوبی معادل با پایداری مجذوبی یکنواخت می‌باشد.

<sup>3</sup> Positive monotonic function

<sup>4</sup> Strictly increasing

<sup>5</sup> Decreasing

<sup>6</sup> Dynamic Lyapunov Functions

<sup>7</sup> سیستم مثبت یعنی سیستمی که همه حالت‌های آن در همه زمان‌های  $t \geq 0$  نامنفی هستند. این دسته از سیستم‌ها در سیستم‌های عملی نظیر کنترل سطح مایع، کنترل دمای مطلق، رکتورهای شیمیایی (غلظت مواد مقداری نامنفی است) و ... کاربرد دارند.

و همچنین برای مرز  $\Omega_1$  داشته باشیم<sup>۲</sup>:

$$\forall x \in \partial\Omega_1 \Rightarrow V_1(x) = 0 \vee \|x\| = r_1 \\ , 0 \in \partial\Omega_1, \partial\Omega_1 \cap B(r_1, 0) \neq \emptyset \quad (4)$$

(۲) قلمرو  $\Omega_1 \subset \Omega_2$  به گونه‌ای موجود باشد که:

$$\forall x \in \Omega_2 \Rightarrow V_1(x) < 0 \quad (5)$$

و همچنین برای مرز  $\Omega_2$  داشته باشیم:

$$\forall x \in \partial\Omega_2 \Rightarrow V_1(x) = 0 \vee \|x\| = r_1 \\ , 0 \in \partial\Omega_2, \partial\Omega_2 \cap B(r_1, 0) \neq \emptyset \quad (6)$$

$$H = \{x \in \partial\Omega_2 \setminus \{0\} : V_1(x) = 0\}$$

$$[H \cup \Omega_2] \subset \Omega_1$$

(۳) قلمرو  $\Omega_2 \subset \Omega_3$  به گونه‌ای موجود باشد که:

$$\forall x \in \Omega_3 \Rightarrow V_2(x) > 0, \Omega_3 \subset B(r_2, 0), r_2 > 0 \quad (7)$$

و همچنین برای مرز  $\Omega_3$  داشته باشیم:

$$\forall x \in \partial\Omega_3 \Rightarrow V_2(x) = 0 \vee \|x\| = r_2, r_2 < r_1 \\ , 0 \in \partial\Omega_3, \partial\Omega_3 \cap B(r_2, 0) \neq \emptyset \quad (8)$$

$$[\bar{\Omega}_3 \setminus \{0\}] \subset \Omega_2$$

(۴) قلمرو  $\Omega_3 \subset \Omega_4$  به گونه‌ای موجود باشد که:

$$\forall x \in [\bar{\Omega}_3 \setminus \Omega_4]^o \Rightarrow V_2(x) > 0 \\ , \Omega_4 \subset B(r_3, 0), r_3 > 0 \quad (9)$$

و همچنین برای مرز  $\Omega_4$  داشته باشیم:

$$\forall x \in \partial\Omega_4 \Rightarrow V_2(x) = 0 \vee \|x\| = r_3, r_3 < r_2 \\ , 0 \in \partial\Omega_4, \partial\Omega_4 \cap B(r_3, 0) \neq \emptyset \quad (10)$$

$$[\bar{\Omega}_4 \setminus \{0\}] \subset \Omega_3$$

اثبات: قلمرو  $\Omega_3$  را به صورت زیر تعریف می‌کنیم:

$$\Omega_3^\varepsilon = \Omega_3 \cap B(\varepsilon, 0), 0 < \varepsilon < r_3 \quad (11)$$

قلمرو  $\pi_\rho$  را به صورت زیر تعریف می‌کنیم:

$$\pi_\rho = \{x \in \Omega_3^\varepsilon : V_1(x) < \rho\}, \rho > 0 \quad (12)$$

با توجه به پیوسته بودن تابع  $V_1$  و این که هر چقدر هم که مقدار  $\varepsilon$  را کوچک کنیم قلمرو  $\pi_\rho$  ناتنهی باقی خواهد ماند، خواهیم داشت:

$$0 \in \partial\pi_\rho \quad (13)$$

آن مثبت است برآورده گردد. همچنین ممکن است، استفاده از قضایای متداول برای تضمین پایداری مجانبی، در این گونه سیستم‌ها محدود نباشد (به مثال (۱) مراجعه کنید). از سوی دیگر اکثر کارهای انجام شده در زمینه تحلیل پایداری سیستم‌های مثبت، مربوط به سیستم‌های خطی [۲۱] و همگن [۲۵، ۲۴، ۲۳، ۲۲] می‌باشد. همچنین در بسیاری از سیستم‌های عملی مانند سیستم‌های مثبت ممکن است با محدودیت فیزیکی برای وجود پاسخ در بخشی از فضای حالت رو برو باشیم. از این رو نیاز به توسعه قضیه‌ای مشابه با قضیه لیپاونوف در ارتباط با این گونه سیستم‌ها احساس می‌شود.

## ۲- تعریف پایداری گوشاهی

سیستم خودگردان به صورت زیر را در نظر بگیرید.

$$\dot{x} = f(x) \quad (1)$$

تابع  $f: D \rightarrow \mathbb{R}^n$  در قلمرو  $D \subset \mathbb{R}^n$  شامل مبدأ، لیپشیتز محلی است؛ همچنین مبدأ نقطه تعادل این سیستم است.

قضیه (۱) [۲۶]: فرض کنید  $C$  زیرمجموعه‌ای فشرده، در  $D$  باشد و برای تمام زمان‌های  $t \geq t_0$  هر پاسخ سیستم (۱) با شرط اولیه  $x_0 \in C$  بطور کامل درون  $C$  قرار بگیرد. در این صورت پاسخ یکتا بی که به ازای جمیع مقادیر  $t \geq t_0$  تعریف می‌شود؛ وجود دارد.

تعریف (۱): نقطه تعادل واقع در مبدأ برای سیستم (۱) را پایدار گوشاهی گوییم، اگر قلمرو  $D \subset \Omega$  به گونه‌ای یافت شود که مبدأ یک نقطه مرزی برای این قلمرو باشد و همچنین مجموعه  $\{0\} \cup \Omega$  تشکیل یک مجموعه پایا مثبت بدلهد، به صورتی که برای هر پاسخ  $x(t)$  در مجموعه  $\Omega$  داشته باشیم<sup>۱</sup>:

$$\begin{aligned} \forall \varepsilon > 0 \quad \exists \delta > 0 : \|x(t_0)\| < \delta(\varepsilon) \\ \Rightarrow \left\{ \begin{array}{l} \|x(t)\| < \varepsilon, \forall t \geq t_0 \geq 0 \\ \lim_{t \rightarrow \infty} \|x(t)\| = 0 \end{array} \right. \end{aligned} \quad (2)$$

## ۳- شرایط تضمین پایداری گوشاهی

قضیه (۲) : سیستم خودگردان با معادله (۱) را در نظر بگیرید. حال فرض کنید تابع  $V_1: D \rightarrow \mathbb{R}$  و  $V_2: D \rightarrow \mathbb{R}$  با مشتقات جزئی مرتبه اول پیوسته که شرایط (\*) را برآورده کنند، موجود باشند. در این صورت ناجیه  $D \subset \Omega$  وجود خواهد داشت که برای آن پایداری گوشاهی مبدأ تضمین می‌گردد.

شرایط (\*):

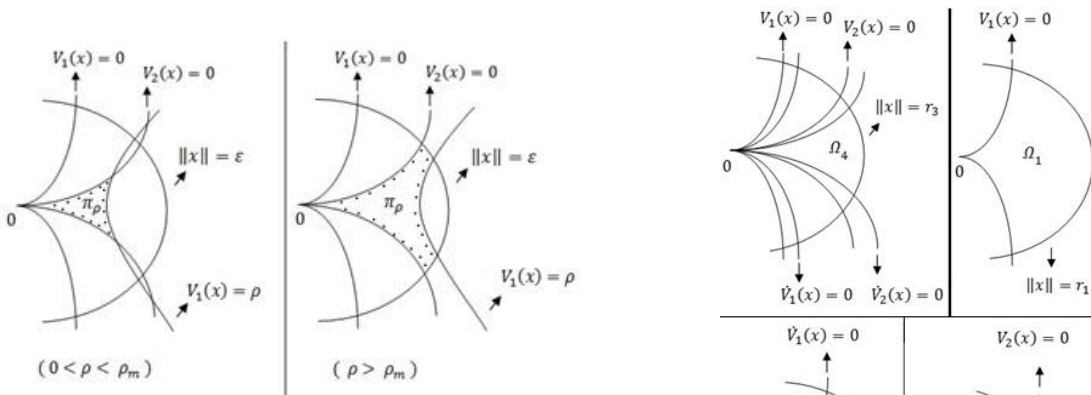
$$(1) \text{ قلمرو } \Omega_1 \subset D \text{ به گونه‌ای موجود باشد که:}^2$$

$$\forall x \in \Omega_1 \Rightarrow V_1(x) > 0, \Omega_1 \subset B(r_1, 0) \subset D, r_1 > 0 \quad (3)$$

<sup>۱</sup> نماد  $\|\cdot\|$  متناظر هر یک از نرم‌های  $p$  می‌تواند باشد.

<sup>2</sup>  $\bar{\Omega}_1$  و  $\Omega_1^o$  به ترتیب بیانگر مرز، درون و بستان مجموعه  $\Omega_1$  می‌باشد.

<sup>۲</sup>  $B(r, 0) = \{x \in \mathbb{R}^n : \|x\| < r\}$

شکل ۲: نمایش هندسی مجموعه  $\pi_\rho$ قلمرو  $\psi_\rho$  را به صورت زیر تعریف می‌کیم:

$$\psi_\rho = \{x \in \Omega_4^\varepsilon : V_1(x) < \rho\} \quad , \rho > 0 \quad (19)$$

با توجه به پیوسته بودن تابع  $V_1(x)$  و این که هر چقدر هم که مقدار  $\varepsilon$  را کوچک کنیم قلمرو  $\psi_\rho$  ناتهی باقی خواهد ماند، خواهیم داشت:

$$0 \in \partial \psi_\rho \quad (20)$$

همچنین با توجه به این که  $\Omega_3^\varepsilon \subset \Omega_4^\varepsilon$  و براساس روابط (۱۲) و (۱۹) نتیجه می‌شود:  $\psi_\rho \subset \pi_\rho$

حال اثبات می‌کنیم:  $[\pi_\rho \setminus \psi_\rho] \subset [\Omega_3 \setminus \Omega_4]$ . با توجه به روابط (۱۱) و (۱۲) داریم:  $[\pi_\rho \setminus \psi_\rho] \subset \Omega_3$  ، پس کافی است نشان دهیم: فرض کنید  $[\pi_\rho \setminus \psi_\rho] \cap \Omega_4 = \emptyset$  . فرض کنید  $p_0 \in [\pi_\rho \setminus \psi_\rho]$  یعنی  $p_0 \in \pi_\rho$  و  $p_0 \notin \psi_\rho$  است با توجه به رابطه (۱۹) داریم:  $p_0 \notin \Omega_4$  . درنتیجه خواهیم داشت:

$$[\pi_\rho \setminus \psi_\rho] \subset [\Omega_3 \setminus \Omega_4] \quad (21)$$

برای قلمرو  $\pi_\rho$  داریم:

$$\forall x \in \partial \pi_\rho \Rightarrow V_2(x) = 0 \quad \vee \quad V_1(x) = \rho \\ , 0 \in \partial \pi_\rho \quad (22)$$

با توجه رابطه (۱۰) و (۱۸) نتیجه می‌شود:  $\bar{\Omega}_4^\varepsilon \setminus \{0\} \subset \bar{\Omega}_4 \setminus \{0\} \subset \Omega_3$  با توجه رابطه (۱۰) و (۱۸) نتیجه می‌شود: پس داریم:

$$\forall x \in \partial \psi_\rho \setminus \{0\} \Rightarrow V_1(x) \neq 0 \quad (23)$$

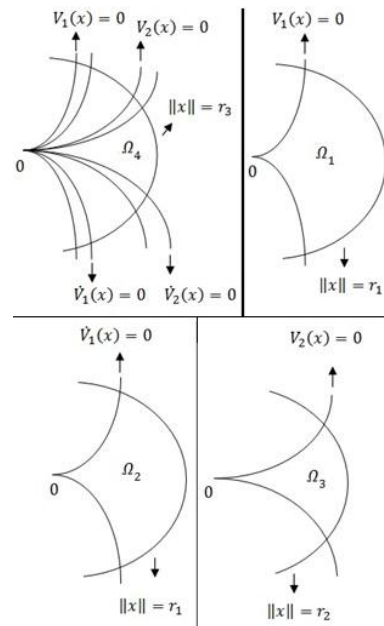
برای قلمرو  $\psi_\rho$  داریم:

$$\forall x \in \partial \psi_\rho \Rightarrow V_1(x) = \rho \quad \vee \quad \dot{V}_2(x) = 0 \\ , 0 \in \partial \psi_\rho \quad (24)$$

برای قلمرو  $\pi_\rho$  می‌توان نوشت:

$$\pi_\rho = \psi_\rho \cup [\pi_\rho \setminus \psi_\rho] \quad (25)$$

با توجه به روابط (۲۲) و (۲۳)، مرز مشخص شده‌ی  $\pi_\rho$  توسط  $V_2(x) = 0$  با توجه به روابط (۲۲) و (۲۳)، مرز مشخص شده‌ی  $\pi_\rho$  با توجه به روابط (۲۲) و (۲۳)، مرز مشخص شده‌ی  $\pi_\rho$  توسط  $V_2(x) = 0$  بخشی از مرز  $\pi_\rho \setminus \psi_\rho$  است.



شکل ۱: نمایش هندسی مجموعه‌ها در شرایط (\*)

و همچنین  $\rho$  در رابطه زیر صدق می‌کند.

$$0 < \rho < \rho_m \quad (14)$$

که  $\rho_m$  به صورت زیر محاسبه می‌شود.

$$\rho_m = \min_{x \in L} V_1(x) \\ L = \{x \in \partial \Omega_3^\varepsilon : \|x\| = \varepsilon\} \quad (15)$$

با توجه به این که  $L$  یک مجموعه فشرده است و تابع  $V_1(x)$  روی  $L$  پیوسته است پس روی آن، مینیمم خواهد داشت. همچنین با توجه به روابط (۶) و (۱۰)،  $L \subset \Omega_1$  است پس  $V_1(x)$  روی  $L$  مثبت می‌باشد، درنتیجه  $\rho_m > 0$  خواهد بود. حال می‌خواهیم نشان دهیم:  $L \cap \partial \pi_\rho = \emptyset$ . برای  $\rho > \rho_m$  داشت:  $\pi_\rho$  خواهیم داشت:

$$\bar{\pi}_\rho = \overline{[\Omega_3^\varepsilon \cap \{x \in \Omega_1 : 0 < V_1(x) < \rho\}]} \subset \\ [\bar{\Omega}_3^\varepsilon \cap \{x \in \bar{\Omega}_1 : 0 \leq V_1(x) \leq \rho\}] \quad (16)$$

درنتیجه برای عبارت سمت راست رابطه (۱۶) خواهیم داشت:

$$[\bar{\Omega}_3^\varepsilon \cap \{x \in \bar{\Omega}_1 : 0 \leq V_1(x) \leq \rho\}] \subset \\ \{x \in \bar{\Omega}_3^\varepsilon : 0 \leq V_1(x) \leq \rho\} \quad (17)$$

فرض خلف:  $L \cap \partial \pi_\rho \neq \emptyset$ . در این صورت نقطه  $p_0 \in L \cap \partial \pi_\rho$  وجود دارد که عضو  $\partial \pi_\rho$  نیز خواهد بود. برای نقطه  $p_0$  روی  $L$  با توجه به روابط (۱۵) خواهیم داشت:  $V_1(p_0) \geq \rho_m$  و همچنین برای  $p_0 \in \partial \pi_\rho$  داشت:  $V_1(p_0) \leq \rho$ ، که چون  $\rho_m < \rho$  است؛ پس فرض خلف داشت:  $0 \leq V_1(p_0) \leq \rho$ . باطل و  $L \cap \partial \pi_\rho = \emptyset$  است.

قلمرو  $\Omega_4^\varepsilon$  را به صورت زیر تعریف می‌کنیم:

$$\Omega_4^\varepsilon = \Omega_4 \cap B(\varepsilon, 0) \quad (18)$$

$$\begin{aligned} \forall \varepsilon > 0 \quad \exists \delta > 0 : \quad \|x(t_0)\| < \delta(\varepsilon) \\ \Rightarrow \|x(t)\| < \varepsilon \quad , t \geq t_0 \geq 0 \end{aligned} \quad (31)$$

حال کافی است اثبات کنیم:

$$\forall x(t_0) \in \pi_\rho \Rightarrow \lim_{t \rightarrow \infty} \|x(t)\| = 0 \quad (32)$$

باید نشان دهیم با افزایش  $t$  به سمت بینهایت،  $V_1(x(t))$  به سمت صفر سوق خواهد یافت زیرا  $V_1(x(t))$  روی  $\pi_\rho$  به طور یکنوا کاشه‌ی است و از پایین با مقدار صفر کراندار می‌باشد. یعنی:

$$t \rightarrow \infty \Rightarrow V_1(x(t)) = \sigma \geq 0 \quad , \sigma < \rho \quad (33)$$

با استفاده از برهان خلف اثبات می‌کنیم؛  $0 = \sigma$  است.

فرض خلف:  $\sigma \neq 0$ . پس داریم:  $V_1(x(t)) \rightarrow \sigma > 0$  که نشان می‌دهد، پاسخ  $x(t)$  با شرط اولیه  $x(t_0) \in \pi_\rho \setminus \pi_\sigma$  برای بازه‌ی زمانی  $[t_0, \infty)$  خارج  $\pi_\sigma$  می‌ماند. حال مقدار  $\alpha$  را به صورت زیر محاسبه می‌کنیم.

$$\alpha = \min_{x \in L} (-\dot{V}_1(x)) \quad (34)$$

$$L = \{x \in \bar{\pi}_\rho : \sigma \leq V_1(x) \leq \rho\}$$

با توجه به این که  $\bar{\pi}_\rho \setminus \{0\} \subset \Omega_1$  و  $0 \notin L$ ، اگر  $\alpha$  وجود داشته باشد، خواهد بود. که مقدار  $\alpha$  وجود دارد زیرا مجموعه  $L$  یک مجموعه فشرده است و تابع  $\dot{V}_1(x)$  روی آن پیوسته می‌باشد. حال اگر  $x(t)$  برای بازه‌ی زمانی  $(-\infty, t_0]$  در  $\pi_\rho \setminus \pi_\sigma$  باقی بماند. خواهیم داشت:

$$\begin{aligned} V_1(x(t)) &= V_1(x(t_0)) + \int_{t_0}^t \dot{V}_1(x(\tau)) d\tau \\ &\leq V_1(x(t_0)) - \alpha(t - t_0) \quad , t \geq t_0 \end{aligned} \quad (35)$$

برای سمت راست رابطه (35) با توجه به مثبت بودن  $V_1(x(t))$  باید داشته باشیم:

$$t < \frac{V_1(x(t_0))}{\alpha} + t_0 \quad (36)$$

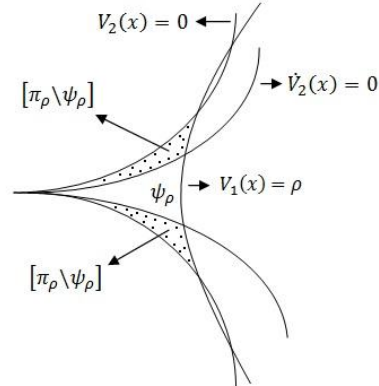
که رابطه (36) با این که پاسخ  $x(t)$  برای بازه‌ی زمانی  $[t_0, \infty)$  در  $\pi_\rho \setminus \pi_\sigma$  باقی بماند در تناقص است، در نتیجه فرض خلف باطل و  $\sigma = 0$  است و اثبات تمام است.

#### ۴- مثال‌های موردی

مثال (۱): معادلات زیر را در نظر بگیرید.

$$\begin{bmatrix} \dot{x}_1 \\ \dot{x}_2 \end{bmatrix} = \begin{bmatrix} -x_1^2 \\ -x_2 \end{bmatrix} \quad (37)$$

فرض کنید این معادلات توصیف کننده سیستمی باشد که حالت  $x_1$  آن نشان دهنده غلظت یک ماده است در این صورت همواره برای  $t \geq t_0 \geq 0$  داشت:  $x_1(t) \geq 0$ . حال اگر چه با توجه به تابع  $V = x_1$  براساس قضیه چتایف [۲۶]، می‌توان ناپایداری مبدأ را ثابت کرد. اما همان طور که از شکل (۵) مشخص است رفتار ناپایداری مبدأ ناشی از شرایط اولیه مربوط به ناحیه  $0 < x_1(t) < r_3$  است. حال آن که می‌دانیم پاسخ‌های سیستم توصیف شده با این معادلات فقط دارای شرایط اولیه که



شکل ۳: نمایش هندسی مجموعه  $\psi_\rho$

حال فرض کنید پاسخ  $x(t)$  در بازه‌ی زمانی  $(t_0, T)$  درون  $\pi_\rho$  باشد. با توجه به رابطه (۱۲) داریم:

$$\forall x \in \pi_\rho \Rightarrow V_1(x) > 0 \quad , \dot{V}_1(x) < 0 \quad (26)$$

که در این صورت خواهیم داشت:

$$\begin{aligned} V_1(x(t)) &= V_1(x(t_0)) + \int_{t_0}^{t \in [t_0, T]} \dot{V}_1(x(\tau)) d\tau \\ &\Rightarrow V_1(x(t)) \leq V_1(x(t_0)) < \rho \end{aligned} \quad (27)$$

از رابطه (27) نتیجه می‌شود که پاسخ  $x(t)$  قلمرو  $\pi_\rho$  را از مرز مشخص شده با  $V_1(x) = \rho$  ترک نخواهد کرد. با توجه به رابطه (۲۴)، همچنین اگر پاسخ  $x(t)$  بخواهد قلمرو  $\pi_\rho$  را از مرز مشخص شده با  $V_2(x) = 0$  ترک کند، از ناحیه  $\pi_\rho \setminus \psi_\rho$  عبور خواهد کرد. برای ناحیه  $\pi_\rho \setminus \psi_\rho$  با توجه به روابط (۹) و (۲۱) داریم:

$$\forall x \in [\pi_\rho \setminus \psi_\rho]^o \Rightarrow V_2(x) > 0 \quad , \dot{V}_2(x) > 0 \quad (28)$$

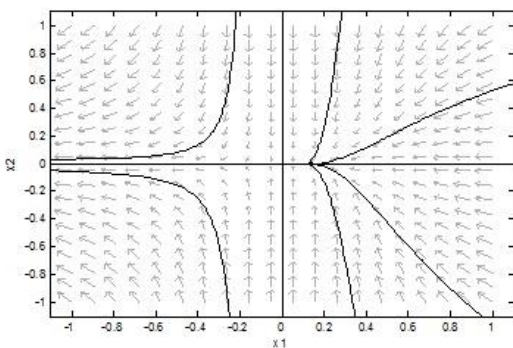
که در این صورت برای پاسخ  $x(t)$  که در بازه‌ی زمانی  $(t_0, T)$  درون  $\pi_\rho \setminus \psi_\rho$  باشد، داریم:

$$\begin{aligned} V_2(x(t)) &= V_2(x(t_0)) + \int_{t_0}^{t \in [t_0, T]} \dot{V}_2(x(\tau)) d\tau \\ &\Rightarrow V_2(x(t)) \geq V_2(x(t_0)) > 0 \end{aligned} \quad (29)$$

از رابطه (29) نتیجه می‌شود که پاسخ  $x(t)$  قلمرو  $\pi_\rho$  را از مرز مشخص شده با  $V_2(x) = 0$  نیز نمی‌تواند ترک کند. پس براساس رابطه (۲۸) پاسخ  $x(t)$  برای تمام زمان‌های  $t \geq t_0$  که  $x(t) \in \pi_\rho$  باشد، داریم:

$$\begin{aligned} \delta_m &= \min_{x \in L} \|x\| \quad , L = \{x \in \bar{\pi}_\rho : V_1(x) = \rho\} \\ &\Rightarrow \delta < \delta_m \end{aligned} \quad (30)$$

و همچنین با این عبارت که:  $\{0 \in \partial \pi_\rho \cap B(\delta, 0) \neq \emptyset$  (چون  $\pi_\rho$  رابطه زیر اثبات می‌شود).



شکل ۵: صفحه فاز مربوط به سیستم با رابطه (۳۷)

حال می‌خواهیم با استفاده از پایداری گوشاهای، ناحیه‌ای در برگیرنده رویه گند سیستم در نزدیکی نقطه تعادل واقع در مبدا بدست آوریم که تمام مسیرهای وارد شونده به این ناحیه جذب مبدا گردد. در واقع به جای یک منحنی (رویه گند سیستم)، یک ناحیه که در برگیرنده آن منحنی است را بدست می‌آوریم، که این امر سبب می‌شود تا تخمینی از حوزه جذب مبدا نیز حاصل گردد.تابع  $V$  و مشتق آن نسبت به زمان را به صورت زیر در نظر بگیرید.

$$V = -(x_2 - ax_1)(x_2 - bx_1^3), \quad a, b = cte$$

$$\dot{V} = \frac{1}{10}[ax_1^2 - (2 + 12a)x_1x_2 + (4 + 10a)x_2^2 - (4 + 10a)x_1x_2^2 + 2ax_1^2x_2 + (b + 4ab)x_1^4 - (32b + 40ab)x_1^3x_2 + 30bx_1^2x_2^2 + (2b + 40ab)x_1^4x_2 - 30bx_1^3x_2^2] \quad (44)$$

حال توابع  $V_1$  و  $V_2$  را برای بررسی پایداری گوشاهای مبدا به صورت رابطه (۴۵) بدست می‌آوریم.

$$V_1 = V|_{a=20, b=0.2}$$

$$V_2 = -\dot{V}|_{a=5, b=0.5} \quad (45)$$

مشتق تابع  $V_1$  نسبت به زمان را به سادگی از رابطه (۴۴) می‌توانید بدست آورید و مشتق تابع  $V_2$  نسبت به زمان را با جایگذاری مقادیر  $a$  و  $b$  در رابطه (۴۶) می‌توانید بدست آورید.

$$\dot{V}_2 = \frac{-1}{50}[-(1 + 16a)x_1^2 + (16 + 92a)x_1x_2 - (18 + 80a)x_2^2 + ax_1^3 - (6 + 54a)x_1^2x_2 + (46 + 170a)x_1x_2^2 - (20 + 50a)x_2^3 - (36b + 820ab)x_1^4 + (2a + 562b + 1440ab)x_1^3x_2 - (8 + 40a + 840b + 600ab)x_1^2x_2^2 + (20 + 50a + 300b)x_1x_2^3 + (b + 20ab)x_2^5 - (124b + 1680ab)x_1^4x_2 + (1090b + 1400ab)x_1^3x_2^2 - 750bx_1^2x_2^3 + (40ab + 2b)x_1^5x_2 - (100b + 800ab)x_1^4x_2^2] \quad (46)$$

در این صورت ناحیه  $\Omega \subset B(1,0)$  که برای مرز آن داریم:

$$x \in \partial\Omega : V_1(x) = 6.11 \quad V_2(x) = 0 \quad (47)$$

وجود خواهد داشت که برای آن پایداری گوشاهای مبدا تضمین می‌گردد.

شکل (۶) را مشاهده کنید.

$x_1(t_0) \geq 0$  باشد؛ خواهد بود. از این رو ناپایدار خواندن سیستم درست نیست و با استفاده از مفهوم پایداری گوشاهای قضیه ارائه شده در این مقاله به بررسی پایداری این سیستم می‌پردازیم.

$$V = x_1 \Rightarrow \dot{V} = -x_1^2 \quad (38)$$

با استفاده از توابع  $V_1$  و  $V_2$  به ترتیب با پارامترهای  $a$  و  $b$ ، بیان شده در رابطه (۳۹) می‌خواهیم پایداری گوشاهای مبدا را مورد مطالعه قرار دهیم.

$$V_1 = x_1 + ax_2^2, \quad V_2 = -x_2^2 - bx_1^4 \quad (39)$$

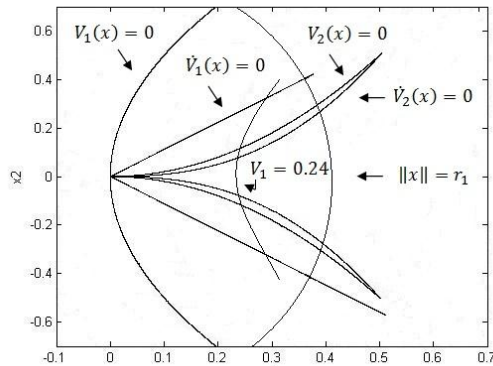
برای مشتق این دو تابع نسبت به زمان داریم:

$$\dot{V}_1 = -x_1^2 - 2ax_2^2, \quad \dot{V}_2 = 2x_2^2 + 4bx_1^5 \quad (40)$$

به ازای  $a = -0.4$  و  $b = -4$  دو تابع  $V_1$  و  $V_2$  شرایط قضیه را برآورده می‌کنند. در این صورت ناحیه  $\Omega \subset B(0.4,0)$  که برای مرز آن داریم:

$$x \in \partial\Omega : V_1(x) = 0.24 \quad V_2(x) = 0 \quad (41)$$

وجود خواهد داشت که برای آن پایداری مجانبی گوشاهای مبدا تضمین می‌گردد. شکل (۴) را مشاهده کنید.



شکل ۴: نمایش هندسی مرزها، مرتبط با مجموعه‌های مورد نیاز برای برقراری شرایط قضیه

مثال (۲): سیستم توصیف شده با معادلات زیر را در نظر بگیرید.

$$\begin{bmatrix} \dot{x}_1 \\ \dot{x}_2 \end{bmatrix} = \begin{bmatrix} x_2 - (x_2 + 1)x_1 \\ 0.2[-x_2 + (x_2 + 0.5)x_1] \end{bmatrix} \quad (42)$$

این سیستم توصیف کننده سینتیک آنزیم<sup>۱</sup> است. که رفتار آن در مراجع [۲۸، ۲۷] مورد بررسی قرار گرفته است و تخمینی از رویه گند<sup>۲</sup> این سیستم به صورت زیر ارائه شده است.

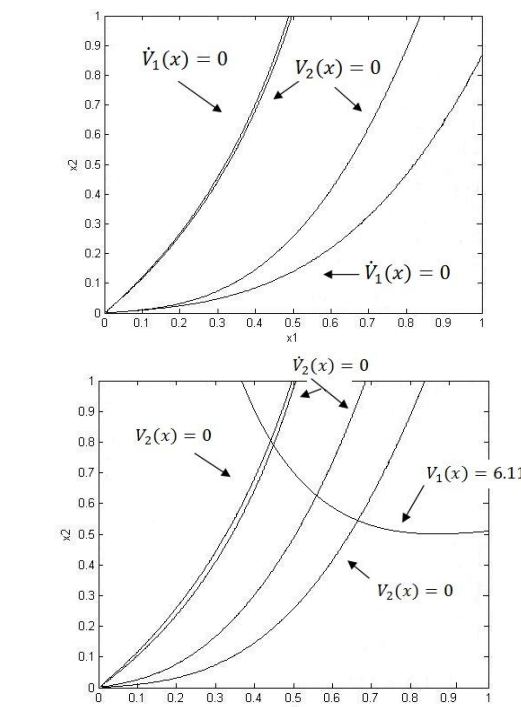
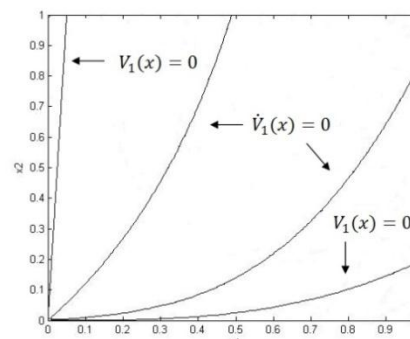
$$M_{slow} = \left\{ (x_1, x_2) \in \mathbb{R}^2 : x_1 = \frac{x_2}{x_2 + 1} + \frac{0.1x_2}{(x_2 + 1)^4} \right\} \quad (43)$$

<sup>1</sup> Enzyme kinetics<sup>2</sup> Slow manifold

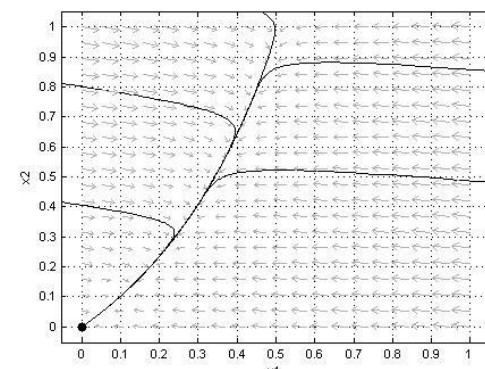
سیستم‌هایی شود که وجود پاسخ در این سیستم‌ها مانند سیستم‌های مثبت، محدود به بخشی از فضای حالت باشد. همچنین قضیه‌ای مشابه با قضیه لیاپانوف در ارتباط با تضمین پایداری گوشاهای این گونه سیستم‌ها ارائه شد. در انتهای برای دو سیستم متفاوت با استفاده از قضیه (۲)، پایداری گوشاهای نقطه تعادل واقع در مبدأ مورد بررسی قرار داده شد.

### مراجع

- [1] R. I. Leine, "The historical development of classical stability concepts: Lagrange, Poisson, and Lyapunov stability," Springer, Nonlinear Dynamics, Vol. 59, No. 1, pp. 173-182, 2010.
- [2] W. Hahn, "Stability of motion," Springer-Verlag, New York, 1967.
- [3] G. A. Leonov, "Strange attractors and classical stability theory," St. Petersburg University Press, 2008.
- [4] A. M. Lyapunov, "The general problem of the stability of motion," Translated from the Russian by A. T. Fuller, Taylor & Francis Ltd, 1992.
- [5] J. P. LaSalle, "Some extensions of Liapunov's second method," IEEE, IRE Transactions on Circuit theory, vol. 7, no. 4, pp. 520-527, 1960.
- [6] S. N. Kumpati, M. A. Anuradha, "Persistent excitation in adaptive systems," International journal of control, Taylor & Francis, vol. 45, no. 1, pp. 127-160, 1987.
- [7] D. Aeyels, J. Peuteman, "A new asymptotic stability criterion for nonlinear time variant differential equations," IEEE Transactions on automatic control, vol. 43, no. 7, pp. 968-971, July. 1998.
- [8] D. Aeyels, J. Peuteman, "Averaging results and the study of uniform asymptotic stability of homogeneous differential equations that are not fast time varying," SIAM journal on control and optimization, , vol. 37, no. 4, pp. 997-1010, 1999.
- [9] R. Bellman, "Vector Lyapunov function," SIAM journal of the society for industrial & applied mathematics, Series A: Control, vol. 1, no. 1, pp. 32-34, 1962.
- [10] V. Lakshmikantham, V. M. Matrosov, S. Sivasundaram, "Vector Lyapunov functions and stability analysis of nonlinear systems," Netherlands, Kluwer academic publishers, 1991.
- [11] A. A. Martynyuk, "Stability by comparison technique," Elsevier journal of nonlinear analysis : Theory, Method & Application, vol. 62, no. 4, pp. 629-641, 2005.
- [12] G. Nersesov, M. Haddad, "On the stability and control of nonlinear dynamical systems via vector Lyapunov function," IEEE Transactions on automatic control, vol. 51, no. 2, pp. 203-215, Feb. 2006.
- [13] J. A. Yorke, "A theorem on Liapunov functions using  $\dot{V}$ ," Springer journal Theory of computing systems, , vol. 4, no. 1, pp. 40-45, 1970.
- [14] A. Butz, "Higher order derivative of Liapunov functions," IEEE Transactions on automatic control, vol. 14, no. 1, pp. 111-112, 1969.
- [15] R. W. Gunderson, "A comparison lemma for higher order trajectory derivatives," JSTOR journal of Proceeding of the American mathematical society, vol. 27, no. 3, pp. 543-548, 1971.
- [16] A. A. Ahmadi, "Non-monotonic Lyapunov functions for stability of nonlinear and switching system: Theory and



شکل ۶: نمایش هندسی منحنی‌های  $V_1(x) = 0$  و  $V_2(x) = 0$  و  $\dot{V}_1(x) = 0$  و  $\dot{V}_2(x) = 0$  در ربع اول مختصات



شکل ۷: صفحه فاز مربوط به سیستم با رابطه (۴۲)

### ۵- نتیجه‌گیری

در این مقاله پایداری گوشاهای تعریف شده است. این نوع پایداری می‌تواند جایگزین مناسبی برای بررسی پایداری مجانبی نقطه تعادل

- [23] V. S. Bokharaie, "Stability analysis of positive systems with applications to epidemiology," Phd thesis, National university of irelandmaynooth ,2012.
- [24] V. S. Bokharaie, O. Mason, M. Vewoerd, "D-Stability and Delay-Independent stability of homogeneous cooperative systems," IEEE Transactions on automatic control, Vol. 55, No. 12, pp. 2882-2885, 2010.
- [25] V. S. Bokharaie, O. Mason, M. Vewoerd, "D-Stability and Delay-Independent stability of homogeneous cooperative systems," IEEE Transactions on automatic control, Vol. 56, No. 6, pp. 1489, 2011.
- [26] H. K. Khalil, "Nonlinear systems," Third edition, Prentice Hall, 2002.
- [27] T. J. Kaper, "An introduction to geometric methods and dynamical systems theory for singular perturbation problems," American mathematical society, Proceedings of symposia in applied mathematics, Vol. 56, pp. 85-132, 1999.
- [28] R. E. O'Malley, "Singular perturbation method for ordinary differential equations," Springer-Verlag, New York, 1991.
- [29] computation," MSc Thesis, Dept. of Electrical Eng and computer Sci, MIT, June 2008.
- [30] V. Meigoli, S. K. Y. Nikravesh, "Stability analysis of nonlinear systems using higher order derivative of Lyapunov function candidates," Elsevier journal of Systems & control letters, vol. 61, no. 10, pp. 973-970, 2012.
- [31] M. Sassano, A. Astolfi, "Dynamic Lyapunov functions: Properties and applications," American control conference, 2012.
- [32] A. Berman, M. Neumann, R. J. Stern, "Nonnegative matrices in dynamic systems," New York, Wiley, 1989.
- [33] T. Kaczorek, "Positive 1D and 2D systems," New York, Springer Verlag, 2002.
- [34] M. A. Rami, F. Tadeo, "Controller synthesis for positive linear systems with bounded controls," IEEE Trans. on circuits and systems, Vol. 54, No. 2, pp. 151-155, 2007.
- [35] D. Aeyels, P. De Leenheer, "Extension of Perron-Frobenius theorem to homogeneous systems," SIAM J. on control and optimization, Vol. 41, No. 2, pp. 563-582, 2002.